

Рис. 4.

ЛІТЕРАТУРА

1. Арутюнян Н.Х., Абрамян Б.Л. Кручение упругих тел. М. Физматгиз, 1963.
2. Гриліцький Л.В. Кручение двошарового пружного середовища. - "Прикладна механіка", 1961, т. 7, вип. 1.
3. Забрєйко П.П. [и др.] Интегральные уравнения. М., "Наука", 1968.
4. Уфлянд Я.С. Интегральные преобразования в задачах теории упругости. Л., "Наука", 1967.
5. Черепанов Г.П. Механика хрупкого разрушения. М., "Наука", 1974.

УДК 539.3

В.Є.ЮРІНЦЬ

НАПРУЖЕНИЙ СТАН ПРУЖНОЇ ПЛАСТИНКИ З НЕСИМЕТРИЧНО ПІДКРІПЛЕНИМ КРАЄМ

Розглянемо пружну напіввізмежну пластинку $y < 0$ товщини $2h$, прямолінійний край якої по всій довжині несиметрично підкріплений пружним стержнем сталого перерізу. Підкрілюючий стержень спаяний з

пластинкою до деформації таким чином, що вісь стержня паралельно зміщена від серединної площини пластинки на деяку величину ξ_0 /екцентриситет підкріplення/. Спряження пластинки зі стержнем грунтуються на гіпотезі нормального плоского перерізу. До стержня прикладені зовнішні згинальні моменти $m(x)$, перерізувальні сили $P(x)$, нормальні і тангенціальні зусилля $N(x)$, $T(x)$. Із боку стержня на пластинку передаються контактні згинальні моменти $m^{(i)}(x)$, перерізувальні сили $P^{(i)}(x)$ і зусилля $N^{(i)}(x)$, $T^{(i)}(x)$. Отже, на контурі сплошної пластинки зі стержнем маємо умови спряження /рис. 1/.

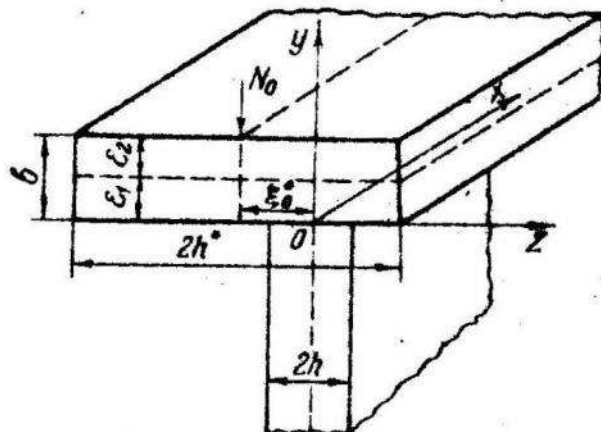


Рис. 1.

$$(u_{y=0} = u_i, \quad v_{y=0} = v_i, \quad w_{y=0} = w_i, \quad \left(\frac{dw}{dy}\right)_{y=0} = \frac{dw_i}{dy}, \\ (6_y)_{y=0} = N^{(i)}(x), \quad (\bar{\epsilon}_{xy})_{y=0} = T^{(i)}(x), \quad /1/ \\ (M_y)_{y=0} = m^{(i)}(x), \quad (N_y + \frac{\partial H_{xy}}{\partial x})_{y=0} = P^{(i)}(x)).$$

Незалежно від виду навантаження при ексцентриситеті підкріпллення нерівному нулю в пластинці виникають узагальнено плоский і згинальний напружені стани. При $\xi_0^* = 0$ задача розділяється на плоску і згин.

Надалі будемо користуватися інтегральним перетворенням Фур"є за зміною x

$$\tilde{F}(\lambda) = \frac{1}{\sqrt{2\pi}} \int_{-\infty}^{\infty} F(x) e^{i\lambda x} dx, \quad F(x) = \frac{1}{\sqrt{2\pi}} \int_{-\infty}^{\infty} \tilde{F}(\lambda) e^{-i\lambda x} d\lambda. \quad /2/$$

Виходячи з теорії криволінійного стержня і прийнявши, що радіус кривизни дорівнює бессмежності, одержимо диференціальні рівняння для компонент вектора зміщення елементів волокна стержня, що перебуває в контакті з пластинкою, які в області інтегрального перетворення Фур"є мають вигляд

$$\begin{aligned} i\lambda^3 \ddot{U}_1 &= i\lambda \frac{\epsilon_1^*}{g_2} \bar{T} - 2i\lambda h \left(\frac{1}{g_1} + \frac{\epsilon_2^*}{h^2} \right) \bar{T}^{(i)} - \frac{2h\epsilon_1}{g_2} \bar{N}^{(i)} + \frac{2h\epsilon_1}{g_2} \bar{P}^{(i)} - \frac{\epsilon_2^*}{h} \bar{P}, \\ \lambda^4 \ddot{U}_1 &= \frac{2h^*}{g_2} \bar{N} - \frac{2h}{g_2} \bar{N}^{(i)} - i\lambda \frac{2h^*\epsilon_1}{g_2} \bar{T} - i\lambda \frac{2h\epsilon_1}{g_2} \bar{T}^{(i)}, \\ \ddot{W}_1 &= \frac{1}{\lambda^2} \bar{P} - \frac{1}{\lambda^2} \bar{P}^{(i)} + i \frac{2h\epsilon_1^*}{\lambda^2 C} \bar{T}^{(i)} - \frac{\epsilon_1}{\lambda^2 C} \bar{m}^{(i)} + \frac{\epsilon_1}{\lambda^2 C} \bar{m} - \frac{2h\epsilon_1^* \epsilon_1}{\lambda^2 C} \bar{N}^{(i)} - \frac{\epsilon_1 \epsilon_1^*}{\lambda^2 C} \bar{P} - \frac{\epsilon_1^*}{\lambda^2 C} \bar{P}^{(i)}, \\ \frac{d\omega_3}{dy} &= \frac{1}{\lambda^2 C} \bar{m}^{(i)} - \frac{1}{\lambda^2 C} \bar{m} + \frac{2h\epsilon_1^*}{\lambda^2 C} \bar{N}^{(i)} + \frac{\epsilon_1}{\lambda^2 C} \bar{P} + \frac{\epsilon_1}{\lambda^2 C} \bar{P}^{(i)}, \end{aligned} \quad /3/$$

де $\frac{1}{g_1} = \frac{f}{g_1} + \frac{\epsilon_1^2}{g_2}$; $\frac{1}{g_2} = \frac{f}{g_1} - \frac{\epsilon_1 \epsilon_2}{g_2}$; ϵ_1 і ϵ_2 - відстані волокон стержня від нейтрального шару /осі/ відповідно внутрішнього та зовнішнього краю; $f = \epsilon_1 + \epsilon_2$ - висота стержня; $2h$ - товщина пластинки; $2h^*$ - товщина того краю стержня, який не дотикається до пластинки; $g_1 = E^* F_0$ - корсткість стержня на розтяг; $g_2 = E^* J_x$, $A = E^* J_y$ - корсткості стержня на згин; C - корсткість стержня на крученні; F_0 - площа поперечного перерізу стержня; E^* - модуль пружності матеріалу стержня; J_x і J_y - моменти інерції перерізу.

У трансформантах Фур"є /2/ формули, що зв'язують компоненти переміщень елементів границі пружної півплощини з прикладеними до границі півплощини зусиллями /1/ мають вигляд [1]

$$(i\lambda^3 \bar{U})_{y=0} = \lambda^2 (\alpha_1 \bar{N}^{(i)} + \beta_1 \bar{T}^{(i)}), \quad (\lambda^2 \bar{U})_{y=0} = i\lambda^3 (\alpha_2 \bar{N}^{(i)} + \beta_2 \bar{T}^{(i)}),$$

$$(\bar{W})_{y=0} = \frac{\delta_1}{\lambda^2} \bar{m}^{(i)} - \frac{i\delta_1}{\lambda^3} \bar{P}^{(i)}, \quad \left(\frac{d\bar{W}}{dy}\right)_{y=0} = -\frac{i\delta_1}{\lambda} \bar{m}^{(i)} - \frac{\delta_2}{\lambda^2} \bar{P}^{(i)} \quad /4/$$

Тут введено позначення

$$\begin{aligned} \alpha_1 &= \mu_1 \mu_2 \alpha_{11} - \alpha_{12}, \quad \alpha_2 = \mu_1 \mu_2 (\mu_1 + \mu_2) \alpha_{11} - 2\mu_1 \mu_2 \alpha_{16} + \alpha_{20}, \quad \beta_1 = (\mu_1 + \mu_2) \alpha_{11} - \alpha_{16}, \\ \beta_2 &= (\mu_1^2 + \mu_1 \mu_2 + \mu_2^2) \alpha_{11} - 2(\mu_1 + \mu_2) \alpha_{16} + \alpha_{12} + \alpha_{10}, \quad \delta_1 = \frac{1}{D_0} [(\mu_1^* + \mu_2^*) D_{22} + 2D_{66}], \\ \delta_1' &= \frac{1}{D_0} [(\mu_1^{**2} + \mu_1^* \mu_2^* + \mu_2^{**2}) D_{22} + 4(\mu_1^* + \mu_2^*) D_{26} + D_{12} + 4D_{66}], \quad \delta_2 = \frac{1}{D_0} [(\mu_1^* \mu_2^* D_{22} - D_{12})], \\ \delta_2' &= \frac{1}{D_0} [(\mu_1^* \mu_2^* (\mu_1^* + \mu_2^*) D_{22} + 4\mu_1^* \mu_2^* D_{26} - 2D_{12})], \quad D_0 = \mu_1^* \mu_2^* D_{22}^2 + 2\mu_1^* \mu_2^* (\mu_1^* + \mu_2^*) D_{26} D_{12} + 1/5/ \\ &+ 8\mu_1^* \mu_2^* D_{26}^2 + (\mu_1^{**2} + \mu_1^* \mu_2^* + \mu_2^{**2}) D_{16} D_{22} + 4(\mu_1^* + \mu_2^*) D_{16} D_{26} + D_{16} (D_{12} + 4D_{66}) - \\ &- \mu_1^* \mu_2^* D_{22} (D_{12} + 4D_{66}) - 2(\mu_1^* + \mu_2^*) D_{12} D_{16} - 4D_{16} D_{12}, \end{aligned}$$

де α_{ij} і D_{ij} – пружні і корсткосні сталі анізотропної пластинки; μ_1 і μ_2 , μ_1^* і μ_2^* – корені наступних характеристичних рівнянь

$$\begin{aligned} \alpha_{11} \mu^4 - 2\alpha_{16} \mu^3 + (2\alpha_{12} + \alpha_{20}) \mu^2 - 2\alpha_{16} \mu + \alpha_{22} &= 0, \\ D_{22} \mu^{**4} + 4D_{26} \mu^{**3} + 2(D_{12} + 2D_{66}) \mu^{**2} + 4D_{16} \mu^* + D_{11} &= 0. \end{aligned} \quad /6/$$

У випадку, коли матеріал пластинки ізотропний, то вирази /5/ спростяться і запишуться таким чином:

$$\alpha_1 = \alpha_2 = -\frac{1-\nu}{E}, \quad \beta_1 = -\alpha_2 = \frac{2\nu}{E}, \quad \delta_1 = \delta_2 = -\frac{1+\nu}{D(1-\nu)(3+\nu)}. \quad /7/$$

де E – модуль пружності матеріалу пластинки; ν – коефіцієнт Пуассона; $D = \frac{2Eh^3}{3(1-\nu^2)}$ – циліндрична корсткість пластинки.

Спряжені відповідно рівняння /3/ і /4/ згідно з граничними умовами /1/, одержуємо систему чотирьох алгебраїчних рівнянь відносно трансформант $\bar{N}^{(i)}$, $\bar{T}^{(i)}$, $\bar{P}^{(i)}$ і $\bar{m}^{(i)}$. Розв'язуючи цю систему рівнянь і використовуючи інтегральне перетворення Фур'є /2/, знайдемо розподіл контактних зусиль на контурі сплошої пластинки зі стержнем,

Наприклад, у випадку навантаження підкріпленого стержня моментом $m(x)$ одержимо

$$N^{(i)}(x) = \int_{\sigma}^{\infty} Re \int_{0}^{\infty} \frac{R_1(\lambda)}{R(\lambda)} d\lambda \int_{-\infty}^{\infty} m(t) e^{-i\lambda(t-x)} dt,$$

$$T^{(i)}(x) = \int_{\sigma}^{\infty} Re \int_{0}^{\infty} \frac{R_2(\lambda)}{R(\lambda)} d\lambda \int_{-\infty}^{\infty} m(t) e^{-i\lambda(t-x)} dt, \quad 181$$

$$P^{(i)}(x) = \int_{\sigma}^{\infty} Re \int_{0}^{\infty} \frac{R_3(\lambda)}{R(\lambda)} d\lambda \int_{-\infty}^{\infty} m(t) e^{-i\lambda(t-x)} dt,$$

$$m^{(i)}(x) = \int_{\sigma}^{\infty} Re \int_{0}^{\infty} \frac{R_4(\lambda)}{R(\lambda)} d\lambda \int_{-\infty}^{\infty} m(t) e^{-i\lambda(t-x)} dt,$$

$$R(\lambda) = -\lambda \frac{\epsilon_1 \beta_2}{C} (\alpha_1 \beta_2 - \alpha_2 \beta_1) \left[\lambda^3 - i \frac{\epsilon_1 f_1}{\epsilon_1 f_2} (\delta_1 \delta_2 - \delta_2 \delta_1 - \frac{\epsilon_1 \delta_2}{C} - \frac{\epsilon_1 \beta_1}{C}) \lambda^2 + i \frac{C}{\epsilon_1 f_2} (\frac{f_2}{A} - \frac{f_1}{A}) \lambda^2 - i \frac{1}{\epsilon_1^2 A f_2} \right] \left\{ \lambda^4 - i \frac{2h d_2}{\alpha_1 \beta_2 - \alpha_2 \beta_1} \left(\frac{f_1}{g_1} + \frac{\zeta_0''^2}{A} \right) \lambda^3 + \frac{2h \epsilon_1 (\alpha_1 + \beta_2)}{g_2 (\alpha_1 \beta_2 - \alpha_2 \beta_1)} \lambda^2 + i \frac{2h \beta_1}{g_2 (\alpha_1 \beta_2 - \alpha_2 \beta_1)} \lambda - \frac{4h^2}{g_2 (\alpha_1 \beta_2 - \alpha_2 \beta_1)} \left(\frac{f_1}{g_1} + \frac{\zeta_0''^2}{A} \right) + \frac{2h \zeta_0''^2 \beta_2}{\epsilon_1 A (\alpha_1 \beta_2 - \alpha_2 \beta_1)} \right\}, \quad 191$$

$$\times \left\{ \frac{\lambda^5 + i \left(\frac{d_1}{\epsilon_1 f_2} + \frac{d_2}{\epsilon_1 f_2} \right) \lambda^4 + \left(\frac{2h \epsilon_1}{g_2 \beta_2} + \frac{d_2}{\epsilon_1 f_2 \beta_2} \right) \lambda^3 + i \frac{2h \delta_1}{g_2 \beta_2 f_1} \lambda^2 + \frac{2h C}{\epsilon_1 f_2 g_2 \beta_2} \lambda - i \frac{2h}{\epsilon_1 g_2 A f_2 \beta_2} }{\lambda^3 - i \frac{C}{\epsilon_1 f_2} (\delta_1 \delta_2 - \delta_2 \delta_1 - \frac{\epsilon_1 \delta_2}{C} - \frac{\epsilon_1 \beta_1}{C}) \lambda^2 + i \frac{C}{\epsilon_1 f_2} (\frac{f_2}{A} - \frac{\delta_1}{C}) \lambda - i \frac{1}{\epsilon_1^2 A f_2}} \right\}, \quad 101$$

$$R_1(\lambda) = \lambda^3 \frac{\epsilon_1 \zeta_0''^2 \beta_2 f_1}{AC} \left(\lambda^3 + i \frac{\delta_1}{\epsilon_1 f_2} \lambda^2 + \frac{2h \epsilon_1}{g_2 \beta_2} \lambda + i \frac{2h \delta_1}{g_2 \beta_2 f_1} \right),$$

$$R_2(\lambda) = \lambda^2 \frac{\epsilon_1 \zeta_0''^2 \alpha_2 \delta_2}{AC} \left(\lambda^4 + i \frac{f_1}{\epsilon_1 f_2} \lambda^3 - i \frac{2h}{g_2 \delta_2} \lambda + \frac{2h}{\epsilon_1 g_2 \alpha_2 f_2} \right), \quad 111$$

$$R_3(\lambda) = -\lambda^3 \frac{\epsilon_1 \delta_2}{C} (\alpha_1 \beta_2 - \alpha_2 \beta_1) \left(\lambda + i \frac{\delta_1}{\epsilon_1 f_2} \right) \left[\lambda^4 - i \frac{2h d_2}{\alpha_1 \beta_2 - \alpha_2 \beta_1} \left(\frac{f_1}{g_1} + \frac{\zeta_0''^2}{A} \right) + \frac{2h \epsilon_1 (\alpha_1 + \beta_2)}{g_2 (\alpha_1 \beta_2 - \alpha_2 \beta_1)} \lambda^2 + i \frac{2h \beta_1}{g_2 (\alpha_1 \beta_2 - \alpha_2 \beta_1)} \lambda - \frac{4h}{g_2 (\alpha_1 \beta_2 - \alpha_2 \beta_1)} \left(\frac{f_1}{g_1} + \frac{\zeta_0''^2}{A} \right) \right], \quad 121$$

$$+ \frac{2h \epsilon_1 (\alpha_1 + \beta_2)}{g_2 (\alpha_1 \beta_2 - \alpha_2 \beta_1)} \lambda^2 + i \frac{2h \beta_1}{g_2 (\alpha_1 \beta_2 - \alpha_2 \beta_1)} \lambda - \frac{4h}{g_2 (\alpha_1 \beta_2 - \alpha_2 \beta_1)} \left(\frac{f_1}{g_1} + \frac{\zeta_0''^2}{A} \right) \right],$$

$$\begin{aligned}
R_4(\lambda) = & -i\lambda \frac{\epsilon_1 \delta_2}{C} (\alpha_1 \beta_1 - \alpha_2 \beta_2) (\lambda^2 + i \frac{\delta_1}{\epsilon_1 \delta_2} \lambda - \frac{1}{\epsilon_1 \delta_2}) \left[\lambda^4 - i \frac{2h \alpha_2}{\alpha_1 \beta_1 - \alpha_2 \beta_2} \left(\frac{1}{g_1} + \frac{\zeta_0''}{A} \right) \lambda^3 + \right. \\
& + \frac{2h \epsilon_1 (\alpha_1 + \beta_1)}{g_2 (\alpha_1 \beta_2 - \alpha_2 \beta_1)} \lambda^2 + i \frac{2h \beta_1}{g_2 (\alpha_1 \beta_2 - \alpha_2 \beta_1)} \lambda - \frac{4h^2}{g_2 (\alpha_1 \beta_2 - \alpha_2 \beta_1)} \left(\frac{1}{g_1} + \frac{\zeta_0''}{A} \right) - \\
& \left. - i \frac{2h \zeta_0''^2 \alpha_2}{\epsilon_1 \delta_2 (\alpha_1 \beta_2 - \alpha_2 \beta_1)} \left(\frac{\lambda^3 - i \frac{2h}{g_2 \alpha_2}}{\lambda^2 + i \frac{\delta_1}{\epsilon_1 \delta_2} \lambda - \frac{1}{\epsilon_1 \delta_2}} \right) \right]. \quad /13/
\end{aligned}$$

У випадку симетричного підкріплення ($\zeta_0'' = 0$) формулі /8/, що дають закон розподілу контактних зусиль на контурі сплошного стержня, збігається з відповідними формулами роботи [2].

Якщо на стержень діє зосереджений момент m_0 , прикладений на початку координат, то в формулах /8/ необхідно прийняти

$$m(t) = -m_0 \delta(t), \quad /14/$$

і врахувати, що

$$\int_{-\infty}^{\infty} \delta(t) e^{-i\lambda(t-x)} dt = e^{i\lambda x}, \quad /15/$$

де $\delta(t)$ – функція Дірака.

На рис. 2, 3 показана залежність нормальної складової контактних зусиль $N^{(i)}$ і моменту $m^{(i)}$ від ексцентриситету підкріплення ζ_0'' при наступних пружних, жорсткосніх і геометричних даних:

для ізотропної пластинки і стержня

$$\begin{aligned}
\frac{\rho h}{E} = 2.5; \quad B = 2h; \quad \frac{E}{E_1} = 2; \quad \nu = \nu_0 = 0.3; \quad C = \frac{E'' \alpha_2 B^3 h^4}{(1+\nu)^2}; \quad J = 9249; \quad /16/ \\
\epsilon_1 = \epsilon_2 = h; \quad g_1 = 2E'' B h^2; \quad g_2 = \frac{1}{6} h^2 B^2 E''; \quad \lambda = \frac{1}{3} E'' h^{-3} B;
\end{aligned}$$

для ортотропної пластинки

$$\frac{E_L}{E_1} = 5.97; \quad \frac{E}{E_1} = 3.655; \quad \frac{E}{E_2} = 5294; \quad J = 912. \quad /17/$$

На рис. 2, 3 криві 1-для ізотропної пластинки, а криві 2-для ортотропної пластинки. Обчислення проводили на ЕОМ "Мінск-22".

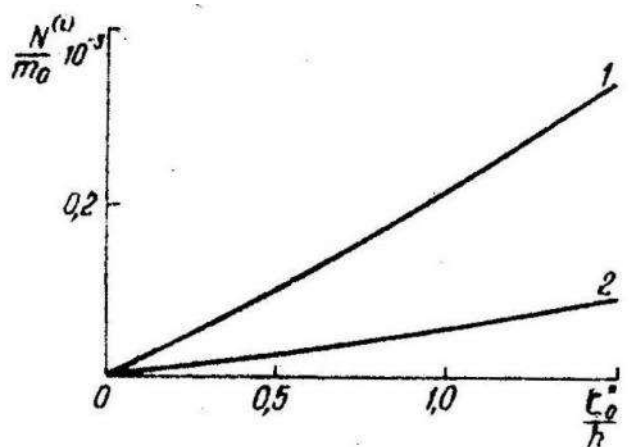


Рис. 2.

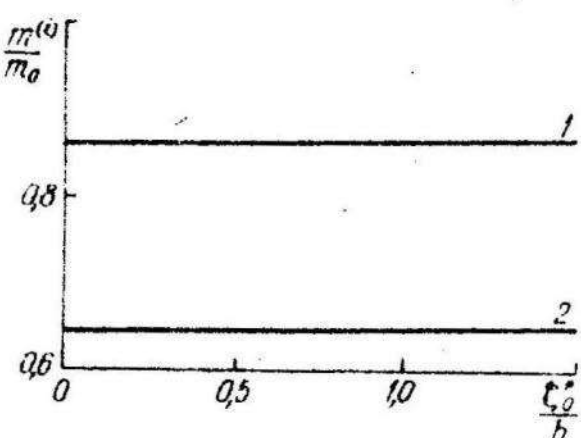


Рис. 3.

Л И Т Е Р А Т У Р А

1. Л е х н и ц к и й С.Г. Анизотропные пластинки. М., Гостехиздат, 1957.
2. М а р т и н о в и ч Т.Л. Анизотропная полуплоскость с подкрепленным краем. - "Инженерный журнал", 1965, т. V, вып. 2.